

## امکان سنجی استفاده از سیستم لوله های زیرزمینی جهت تامین درصدی از انرژی بنا

(نمونه موردی: بررسی کارآیی سیستم در یک بنای آموزشی در تهران)\*

صادیقه سادات میریان\*\*، مرتضی خلجی اسدی<sup>۱</sup>، محمد تقی رضایی حریری<sup>۲</sup>

<sup>۱</sup> کارشناس ارشد معماری و انرژی، تهران، ایران.

<sup>۲</sup> دانشیار دانشکده محیط زیست و انرژی، دانشگاه آزاد اسلامی، واحد علوم و تحقیقات، تهران، ایران.

<sup>۳</sup> دانشیار دانشکده معماری، پردیس هنرهای زیبا، دانشگاه تهران، تهران، ایران.

(تاریخ دریافت مقاله: ۹۰/۵/۲، تاریخ پذیرش نهایی: ۹۰/۴/۲)

### چکیده:

با شروع فصل گرم و سرد و خارج شدن شرایط دمایی از محدوده آسایش، برای دستیابی به دمای مطلوب درون ساختمان نیاز به یک منبع انرژی داریم. زمین به طور طبیعی منبع حرارتی بسیار عظیمی است که در زیر ساختمان‌ها، حیاط‌ها و میادین شهری وجود داشته و به سهولت قابل دسترسی است. با استفاده از دمای یکنواخت اعماق خاک در طول سال می‌توان با عبور دادن هوای محیط از میان سستر خاک زیرین، با استفاده از اصل انتقال حرارت و با توجه به اختلاف دمای خاک و هوای محیط، هوای عبوری را در فصل گرم، سرد و در فصل سرد پیش گرم نمود. در این پژوهش، دمای خاک در تهران با استفاده از یک مدل حرارتی محاسبه گردیده و سپس با استفاده از یک مدل ساده از سیستم لوله‌های زیرزمینی، ظرفیت سرمایشی و گرمایشی این سیستم برای یک ساختمان آموزشی در تهران برآورد و میزان درصد صرف‌جویی در مصرف انرژی تخمین زده شده است. نکته قابل توجه این است که با استفاده از اصل رسانش گذرا در مدل مذکور، بیشترین زمانی که این سیستم در تهران حداکثر کارایی را دارد ۱۱۵ روز در فصل گرم و ۱۵۰ روز در فصل سرد از زمان شروع فعالیت سیستم می‌باشد.

### واژه‌های کلیدی:

سیستم لوله‌های زیرزمینی، دمای یکنواخت خاک، مدل سازی حرارتی، صرف‌جویی انرژی، بنای آموزشی.

\*مقاله حاضر برگفته از پایان نامه کارشناسی ارشد نگارنده اول تحت همین عنوان است که در دانشکده معماری دانشگاه تهران به انجام رسیده است.

.E-mail: nasim\_mirian@yahoo.com \*\*نویسنده مسئول: تلفن: ۰۲۱-۲۲۱۳۰۳۳۷، ۰۶۹۷۲۰۷۶، نامبر: ۰۶۹۷۲۰۷۶

## مقدمه

در تونس صورت گرفته است، دمای خاک در اعمق مختلف به صورت تجربی و با استفاده از یک مدل ریاضی تخمین زده شده و با یکدیگر مقایسه شده است. همچنین با استفاده از یک مدل ساده حرارتی در حالت پایا برای سیستم لوله‌های زیرزمینی، میزان ظرفیت‌گرمایشی و سرمایشی<sup>۱</sup> سیستم‌دراقلیم مدیترانه‌ای جنوبی ارزیابی و اثر پارامترهایی چون خواص فیزیکی خاک، طول و شعاع لوله‌ها بر آن سنجدید شده است و با توجه به اقلیم تونس که دارای ۳ ماه گرم، ۲ ماه سرد و ۶ ماه معتدل باشد، استفاده از این سیستم مفید خواهد بود. سودا و همکاران (Sodha et al, 1985) با بررسی سیستم لوله‌های زیرزمینی نصب شده در یک مجتمع بیمارستانی در هند و با استفاده از اندازه گیری دمای هوای درون لوله‌ها به صورت تجربی و مقایسه آن با یک مدل ساده ریاضی به اندازه گیری میزان ظرفیت سرمایشی سیستم پرداخته و به این نتیجه رسیده است که مقدار ظرفیت گرمایشی برای تامین شرایط آسایش با توجه به شرایط موجود در محل ناکافی است.

مساله قابل توجهی که در بیشتر مقالات و پژوهش‌ها از نظر دور مانده است، تغییرات دمای خاک اطراف لوله‌های زیرزمینی در اثر گذشت زمان و در نتیجه کاهش کارآبی سیستم در اوخر فصل گرم یا سرد خواهد بود. در شروع استفاده از سیستم دمای خاک در عمق ۶ متری، به اندازه دمای هوای میانگین سال خواهد بود که با گذشت زمان و مبادله حرارت از هوا به خاک و بالعکس، دمای خاک (روی سطح لوله) شروع به افزایش و یا کاهش کرده و در اثر گذشت زمان با کم شدن مقدار اختلاف دمای خاک و هوای درون لوله‌های زیرزمینی، مقدار شار گرمایی کاهش یافته و سیستم به مرور بازده پیشین خود را از دست می‌دهد. به همین دلیل نیاز است تا علاوه بر بررسی سیستم از نظر حرارتی (مانند پژوهش‌های ذکر شده)، سیستم لوله‌های زیرزمینی با استفاده از یک مدل حرارتی پیچیده تر (رسانش گذرا<sup>۲</sup>) نیز بررسی شده تا بیشترین مدتی را که سیستم از لحظه عملکرد در موقعیت خوبی به سر می‌برد را بیابیم. در این مقاله، در ابتدا با استفاده از یک مدل حرارتی ساده ریاضی (شرایط پایا<sup>۳</sup>) دمای خروجی از لوله‌های زیرزمینی تحت شرایط مختلف بررسی و سپس پارامترهای مهم در طراحی سیستم لوله‌های زیرزمینی برای یک ساختمان آموزشی خاص در تهران محاسبه شده و میزان درصد صرفه‌جویی نهایی مشخص شده است. سپس با استفاده از یک مدل رسانشی گذرا تغییر دمای خاک بالای سطح لوله‌ها در طول زمان محاسبه شده و با بررسی این تغییر دما، تعداد روزهایی را که می‌توان با بیشترین بهره از سیستم استفاده نمود، مشخص شده است.

آسایش محیطی، اقتصاد و میزان مصرف انرژی بخشی از مهم‌ترین ملاحظات در رابطه با ساختمان‌ها می‌باشد. در بیشتر ساختمان‌های آموزشی، تجاری، اداری و مسکونی سیستم‌های تهویه مطبوع الکتریکی به طور گستردگی جهت تامین شرایط آسایش و سلامت ساکنین مورد استفاده قرار می‌گیرند که این تقاضا به مرور زمان به طور فزاینده‌ای رو به رشد است. افزایش هزینه‌ها، کاهش منابع انرژی‌های فسیلی و تجدید ناپذیر و آسیب‌های محیط زیست سبب انجام تحقیقات گستردگی در زمینه تکنیک‌های خورشیدی و سیستم‌های فعال و غیرفعال<sup>۴</sup> از سال ۱۹۷۰ در کل جهان شده است. یکی از این سیستم‌ها که در بیشتر نقاط دنیا تحقیقات وسیعی روی آن انجام شده است، سیستم لوله‌های زیرزمینی<sup>۵</sup> می‌باشد. بر اساس بررسی‌های انجام شده دمای خاک در عمق ۶ متری به اندازه دمای هوای میانگین سال خواهد بود. در این سیستم هوای محیط خارج وارد لوله‌های زمینی شده و پس از تبادل حرارت با خاک، جهت تهویه و کاهش مقدار بار حرارتی ساختمان به کار می‌رود. این سیستم در بیشتر مواقع شامل یک یا چند لوله با طول و شعاع خاص می‌باشد که جهت سرمایش هوای عبوری از آن در تابستان و یا پیش گرمایش هوای عبوری در زمستان مورد استفاده قرار می‌گیرد. پدیده فیزیکی صورت گرفته بسیار ساده است. دمای خاک معمولاً در تابستان کمتر و در زمستان بیشتر از دمای هوای محیط است و به این دلیل می‌توان از خاک به عنوان یک جاذب گرم و سرما در طول سال استفاده کرد. در تابستان هوای گرم محتوای گرمای خود را از طریق جابجایی به لوله‌های زیرزمینی و سپس از طریق رسانش به خاک منتقل کرده و نسبتاً خنک می‌شود و سپس وارد فضای ساختمان و یا هواساز می‌شود. در زمستان نیز با عبور هوای سرد از درون لوله‌ها، خاک گرمای خود را به هوای درون لوله‌های زیرزمینی منتقل کرده و هوای خروجی را تا حدی پیش گرم می‌کند که این هوای پیش گرم شده پس از رسیدن به دمای مطلوب توسط هواساز وارد فضای ساختمان می‌شود.

آزمایشات و پژوهش‌های بسیاری بر روی این سیستم انجام شده است. اسیون و همکاران (Ascione et al, 2011) در مقاله خود میزان کارآبی سیستم لوله‌های زیرزمینی را برای یک ساختمان اداری نمونه دارای سیستم تهویه مطبوع برای سه اقلیم مختلف در ایتالیا بررسی کرده و دریافت‌های آنکه بهترین عملکرد سیستم لوله‌های زیرزمینی از نظر بهره وری انرژی در اقلیم سردتر خواهد بود و در صورتی که طول لوله‌ها کمتر از ۱۰ متر باشند، سیستم از نظر حرارتی بازده بسیار کمی خواهد داشت. همچنین در پژوهشی که توسط دربل و همکاران (Derbel et al, 2010) در

سالانه محیط در نظر گرفته شود. دامنه موج دمای روزانه سطح زمین معمولاً در تابستان و مخصوصاً در نواحی گرم و خشک هنگامی که تابش خورشیدی بر سطح زمین به حداقل مقدار خود می رسد، بیشترین مقدار و در فصل زمستان مخصوصاً در نواحی سرد با پوشش برف روی سطح زمین کمترین مقدار را دارد. مقدار دامنه اصلی موج دمایی سطح زمین به قابلیت بازتابندگی سطح و پخشندگی خاک در محل وابسته است. در اکثر مواقع، دامنه تغییرات روزانه موج دمای زمین در تابستان، در عمق ۳۰ سانتی متری از ۵ درجه سانتی گراد بیشتر نخواهد شد. همچنین موج های گرما و سرما که فقط چند روز دوام می آورند تاعمق حدود ۶۰ سانتی متری بیشتر نفوذ نمی کنند. در اعماق بیش از ۶۰ سانتی متر فقط الگوی دمای سالانه هوا قابل توجه بوده و میانگین دمای ماهیانه به تنها یک می تواند جهت پیش بینی دمای زیرزمینی مورد استفاده قرار گیرد. همانطور که ذکر شد دمای خاک در اعماق مختلف به صورت نوسانات سینوسی تابعی از دمای هوا در طول سال می باشد و هر چه از سطح خاک به سمت اعماق خاک پیش می رویم، این نوسانات کمتر شده و دمای خاک نسبتاً یکنواخت می شود. همین امر باعث می شود تا بتوان از خاک به عنوان جاذب گرما یا سرما استفاده نمود. دمای لایه های زیرین خاک، به صورت عددی بر پایه تئوری انتقال حرارت در جسم جامد نیم نامتناهی<sup>۱</sup> مدلسازی شده است. دمای خاک علاوه بر اینکه به عواملی چون عمق و زمان مورد بررسی بستگی دارد به عوامل دیگری نیز چون پخشندگی حرارتی خاک<sup>۲</sup> (a) که خود تابعی از چگالی<sup>۳</sup>، رسانندگی گرمایی<sup>۴</sup> و گرمای ویژه خاک<sup>۵</sup> می باشد، وابسته است (Kusuda et al., 1983).

رسانش گرمایی در خاک را می توان توسط معادله گرما به شکل زیر بیان کرد:

$$\frac{\partial^2 T}{\partial z^2} - \frac{1}{\infty} \frac{\partial T}{\partial z} = 0$$

با توجه به حل تحلیلی این معادله، دمای خاک در هر عمقی از خاک و در هر زمانی توسط عبارت زیر قابل محاسبه است:

$$(z, t) = T_{mean} + A \cos \left[ \omega(t - t_0) - \frac{z}{d} \right] \times \exp \left( -\frac{z}{d} \right)$$

$$T = \text{دمای میانگین سالانه هوا (درجه سانتیگراد)}$$

$$t_0 = \text{زمان وقوع گرمترین روز سال از اول ژانویه (ساعت)}$$

$$A = \text{دامنه موج دمای هوا در طول ۱۰ سال (درجه سانتیگراد)}$$

$$Z = \text{ارتفاعی از خاک زیر سطح (متر)}$$

$$\omega = \text{فرکانس موج دمای هوای سالانه} \left( \frac{\pi}{365 \times 24} \right)$$

$$\alpha = \frac{k}{\rho c} = \text{پخشندگی حرارتی خاک (متر مربع بر ساعت)}$$

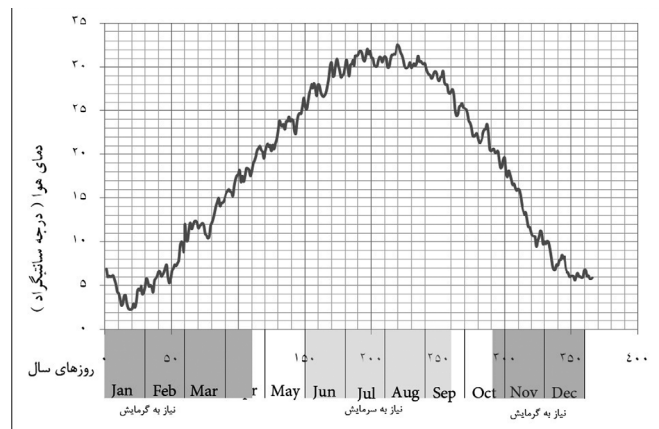
$$C = \text{گرمای ویژه خاک} \left( \frac{j}{kg \cdot ^\circ C} \right)$$

$$\rho = \text{چگالی خاک}$$

مجهولات در رابطه فوق، با توجه به شرایط آب و هوایی در تهران طی ۱۰ سال گذشته و جنس خاک (مخلط شن و ماسه ای در بیشتر نقاط شهر تهران)، جهت یافتن نمودار سینوسی دمای خاک در اعماق مختلف زیر سطح خاک، طبق جدول ۱ می باشد

## ۱- وضعیت جغرافیایی شهر تهران:

استان تهران با ۱۸۹۰.۹ کیلومتر مربع مساحت، فضایی معادل ۱/۲ درصد مساحت کل کشور را به خود اختصاص داده است. این استان از شمال به استان مازندران، از جنوب به استان قم، از غرب به استان البرز و از شرق به استان سمنان محدود می شود. این استان از نظر موقعیت جغرافیایی در ۵۱ درجه و ۱۷ دقیقه تا ۵۱ درجه و ۳۳ دقیقه غربی و ۳۵ درجه و ۳۶ دقیقه تا ۳۵ درجه و ۴۴ دقیقه عرض شمالی قرار گرفته است. ارتفاع کنونی از سطح دریا در حدود ۹۰۰ تا ۱۸۰۰ متر است و از نظر آب و هوایی غیر از نواحی کوهستانی شمالی که اندکی مرطوب و معتدل است، کلاً گرم و خشک است. فصل سرما در تهران معمولاً از آذر ماه شروع می شود و بیشترین دمای سال را در اوایل تابستان (تیر ماه) دارا می باشد. با توجه به آمار ۱۰ ساله هواشناسی (۱۹۹۸-۲۰۰۸) در ایستگاه هواشناسی مهرآباد برای شهر تهران از اوایل آبان تا اواخر فروردین به گرمایش و از اوایل خرداد تا اوایل مهر به سرمایش نیاز خواهیم داشت (تصویر ۱).



تصویر ۱- دمای میانگین هوای تهران در ۱۰ سال گذشته.

مأخذ: (نکارندگان بر اساس آمار ۱۰ ساله (۱۹۹۸-۲۰۰۸) سازمان هواشناسی استان تهران، ایستگاه هواشناسی مهرآباد)

متوسط میزان بارندگی در سطح شهر تهران کم بوده و به مقدار ۲۱۶ میلی متر در طول سال اندازه گیری و تعداد روزهای یخبندان آن نیز ۳۶ روز در سال ثبت شده است. متوسط سالیانه رطوبت نسبی هوادر تهران ۴۰ درصد و در شمیرانات ۶۴ درصد می باشد. شهر تهران به وسیله دو رودخانه اصلی کرج و جاجرم و نیز تعدادی رودخانه های فصلی دیگر مشروب می شود، در واقع حدطبیعی فضای جغرافیایی تهران به واسطه این دو رودخانه مشخص می گردد.

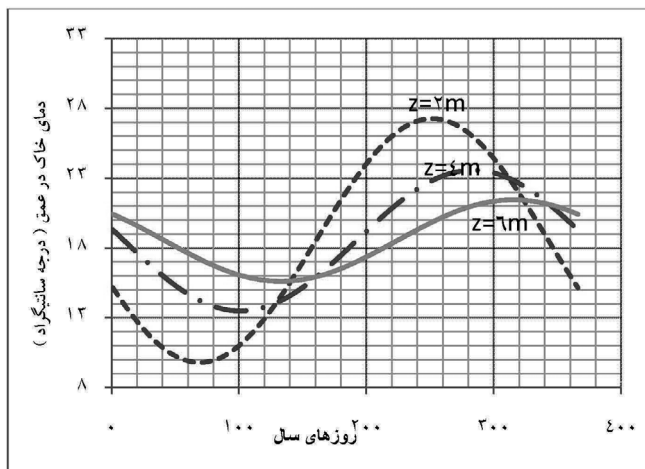
## ۲- دمای خاک در اعماق مختلف:

به عنوان مهم ترین عامل، الگوی سالانه دمای سطح زمین می تواند به صورت یک موج سینوسی از دمای هوای میانگین

جدول ۱- پارامترهای مورد نیاز برای یافتن دمای خاک در اعماق مختلف، بدست آمده بر اساس آمار ۱۰ ساله سازمان هوشناسی استان تهران.

$d = \sqrt{\frac{2\alpha}{\omega}}$	فرکانس موج دمای هوای سالانه	زمان وقوع گرمترین روز سال از اول ژانویه به ساعت	دامنه موج دمای هوای سالانه	دماهی میانگین سالانه هوای	پخشندگی حرارتی خاک
$\omega \left( \frac{rd}{h} \right)$	$t_0 (h)$	A (°C)	$T_{mean}$ (°C)	$\alpha \left( \frac{m^2}{h} \right)$	
۳/۶۵	$7/17 \times 10^{-4}$	۵۲۸۰	۱۵/۰۸	۱۸/۵۳	۰/۰۰۱۱۷

پژوهه‌ای که در نظر است در آن از سیستم لوله‌های زیرزمینی استفاده شود این موضوع باشد مدنظر قرار گیرد. همینطور با توجه به تصویر ۲ جهت استفاده از این سیستم در تهران عمق بینه برای دفن لوله‌ها بین ۰-۵ متر خواهد بود.



تصویر ۱- دمای خاک از نوع شنبی در طول سال برای اعماق مختلف.

$$\alpha = ۱۳/۲۸۶ \times 10^{-7} \left( \frac{m^2}{s} \right) = ۰/۰۴۷۸ \left( \frac{m^2}{h} \right)$$

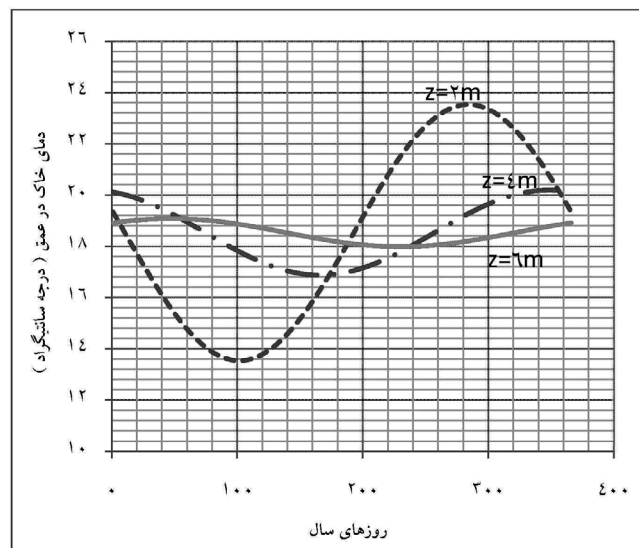
### ۳- مدل حرارتی سیستم لوله‌های زیرزمینی:

به طور کلی انتقال حرارت در سیستم لوله‌های زیرزمینی در ۲ مرحله به صورت همزمان صورت می‌پذیرد. در مرحله اول حرارت از طریق جابجایی، از هوای داخل لوله به سطح درونی لوله منتقل شده و در مرحله دوم از طریق رسانش، به سطح خارجی لوله رسیده و سپس به خاک منتقل می‌شود. این روند در فصل گرم صورت گرفته و در فصل سرد بر عکس این جریان اتفاق می‌افتد و در اثر آن هوای ورودی به ساختمان و یا هواساز سرد و پیش گرم می‌شود.

در این پژوهش، بررسی حرارتی سیستم لوله‌های زیرزمینی در ۲ مرحله صورت گرفته است. در مرحله اول با استفاده از یک مدل حرارتی در شرایط پایا (شرایط ثابت در طول زمان) و با استفاده از نرم افزار MATLAB، دمای هوای درون لوله با توجه

با توجه به داده‌های جدول ۱، می‌توان با استفاده از فرمول ذکر شده نمودار دمای خاک را در اعماق ۰، ۴ و ۸ متری بدست آورد و با استفاده از آن عمق مناسب برای قرار دادن لوله‌های زیرزمینی را تعیین نمود.

به دلیل تفاوت در پارامترهای فیزیکی خاک در نواحی مختلف، دمای خاک در اعماق با توجه به مکان ساختمان مقاومت است. طبق تحقیقات انجام شده برای عمق‌های کم زیر سطح خاک اثر خواص خاک قابل چشم پوشی است اما هنگامی که عمق افزایش می‌یابد، هرچقدر رسانندگی گرمایی خاک بیشتر باشد، نوسانات حرارتی خاک بیشتر است و هرچقدر ظرفیت گرمایی خاک افزایش می‌یابد، دمای خاک در عمق خاصی از خاک کاهش می‌یابد (Derbel et al., 2010). خاک‌شنبی دارای رسانندگی گرمایی بیشتری نسبت به خاک مخلوط شن و ماسه‌ای بوده و مقدار چگالی و گرمایی ویژه آن از خاک مخلوط شن و ماسه‌ای کمتر می‌باشد. با مقایسه تصویر ۲ و ۳ در می‌یابیم که نوسانات دمایی با پیش رفتن در عمق، در خاک با پخشندگی حرارتی بیشتر (خاک‌شنبی)، نسبت به خاک مخلوط شن و ماسه‌ای بیشتر است.

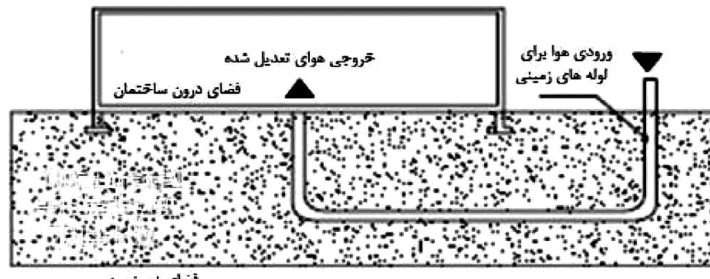


تصویر ۲- دمای خاک مخلوط شن و ماسه‌ای در طول سال برای اعماق مختلف.

$$\alpha = ۳/۲۶۴ \times 10^{-7} \left( \frac{m^2}{s} \right) = ۰/۰۱۱۷ \left( \frac{m^2}{h} \right)$$

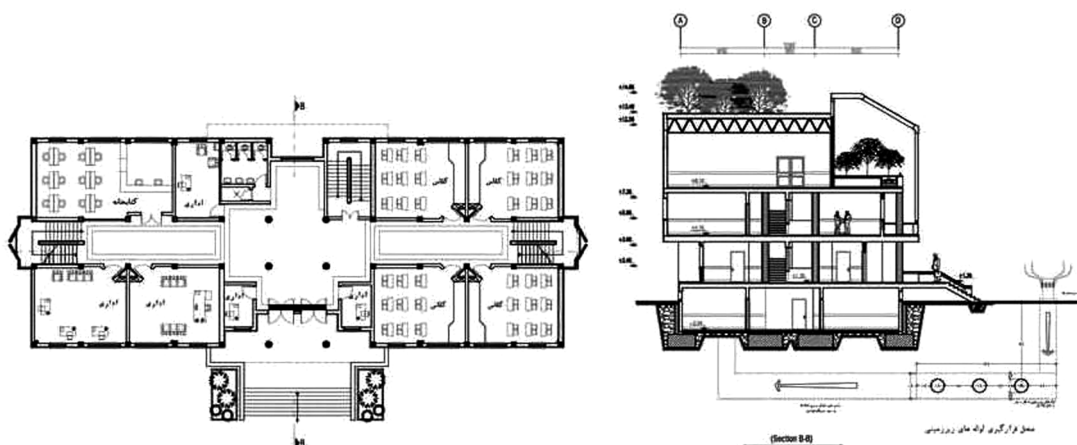
همینطور می‌توان دریافت که هر چقدر رسانندگی گرمایی خاک بیشتر باشد، خاک برای رسیدن به دمای یکنواخت نیاز به عمق بیشتری دارد و در شروع کار عملیات ساختمانی برای

امکان سنجی استفاده از سیستم لوله های زیرزمینی جهت تامین  
درصدی از انرژی بنا



تصویر ۴- نمودار عملکرد سیستم لوله های زمینی به صورت شماتیک.

(Al-Ajmi et al., 2005)



تصویر ۵- پلان طبقه همکف و برپا از ساختمان آموزشی مذکور (گلخانه) و طرز قرارگیری لوله های زیرزمینی در برپا نمایش داده شده است.

بار حرارتی و برودتی کل بنا (ساختمان آموزشی) در تابستان و زمستان با استفاده از نرم افزار CARRIER محاسبه شده است. این نرم افزار بعنوان یکی از شناخته شده‌ترین و پرکاربردترین نرم افزارها جهت تخمین بار حرارتی و برودتی ساختمان و طراحی سیستم‌ها و شبیه سازی مصرف انرژی ساختمان و محاسبه هزینه‌های انرژی می‌باشد. با استفاده از این نرم افزار، بار گرمایشی ساختمان، (KW) ۳۹/۶ (با در نظر گرفتن بار گرمایشی گلخانه در فصل سرد) و بار سرمایشی آن (KW) ۱۰/۲ (با در نظر گرفتن بار گرمایشی گلخانه در فصل سرد) و بار سرمایشی روزانه در فصل سرد و (KWh) ۳۵/۷ (با در نظر گرمایش روزانه در فصل سرد) این بنا به (KWh) ۹۳۰/۶ انرژی جهت سرمایش روزانه در فصل گرم نیاز خواهد داشت.

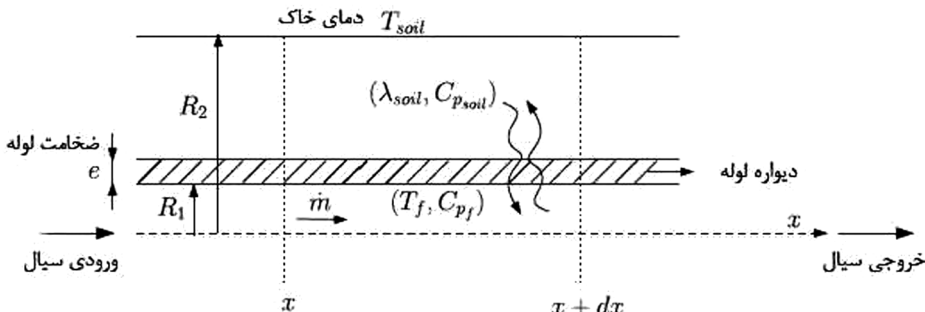
### ۳-۲- مدل حرارتی سیستم لوله های زیرزمینی در شرایط پایا:

در این بخش برای ساده شدن مدل حرارتی نیاز است که فرض هایی را در نظر بگیریم:  
لوله در تمام قسمت های اداری سطح مقطع یکنواخت می باشد.  
خاکی که لوله ها را احاطه کرده است، در تمام جهات دارای رسانندگی گرمایی (k) یکسانی است.  
اغتشاشات حرارتی ۱۱ خاکی که لوله ها را احاطه کرده است تا فاصله ای به اندازه ۲ برابر شعاع از سطح خارجی لوله ها قابل صرف نظر کردن است (Al-Ajmi et al., 2005).

به افزایش طول لوله های زمینی، تاثیر شعاع و سرعت هوادرون لوله ها و ظرفیت گرمایشی و سرمایشی سیستم در فضول گرم و سرد بررسی شده است. در مرحله دوم با استفاده از مدل حرارتی رسانشی گذرا (شرایط وابسته به زمان)، انتقال حرارت از سطح لوله به خاک و بر عکس در طول مدت زمان فصل گرم یا سرد، جهت یافتن حداقل زمان استفاده بهینه از سیستم بررسی شده است.

### ۳-۱- مشخصات ساختمان آموزشی طراحی شده با سیستم لوله های زیرزمینی:

ساختمان طراحی شده توسط نگارنده، جهت استفاده از سیستم لوله های زیرزمینی، یک دبیرستان با ۱۲ کلاس می باشد و در تهران واقع شده است. مساحت زیر بنادر این مدرسه ۲۱۲۹ مترمربع بوده و در طراحی آن علاوه بر استفاده از سیستم لوله های زیرزمینی از دیگر سیستم های خورشیدی غیرفعال نیز استفاده شده است. به عنوان مثال می توان از گلخانه ای که در بخش جنوبی بناآن قرار گرفته باشد و همچنین سلول های فتوولتاوئیک جهت تامین بخشی از الکتریسیته مصرفی، شیشه های دو جداره و کرکره های خارجی جهت کنترل تابش خورشید در ساعتی از روز، نام برد. همچنین این بنا با توجه به مقررات ملی ساختمان مبحث ۱۹ عایق بندی شده است.  
این ساختمان در ۳ طبقه و ۱ طبقه زیرزمین جهت استفاده از ساعت ۸ صبح تا ۵ بعدازظهر در کل سال طراحی شده است.



تصویر ۶- نمودار تبادل حرارتی بین هوای درون لوله و خاک به صورت شماتیک.  
ماخذ: (Derbel et al., 2010)

صورت رابطه زیر بیان می شود:

$$h = \frac{k_{air}}{2 \times R_1} \times Nu$$

عدد نوسلت<sup>۱۰</sup> (Nu)، تابعی از عدد رینولز<sup>۱۱</sup> (Re) و عدد پرانتل<sup>۱۲</sup> (Pr) می باشد و برای یک جریان آشفته<sup>۱۳</sup> درون لوله در صورتی که

$$2300 \leq Pr \leq 2000 \quad 0.5 < Re < 5 \times 10^6$$

به صورت زیر بیان می شود:

$$Nu = \frac{\left(\frac{f}{8}\right)(Re-1000)Pr}{1+12/7 \times \sqrt{\frac{f}{8} \times (pr^{\frac{2}{3}}-1)}}$$

$f = (0/79 \ln Re - 1/64)^2$  (ضریب اصطکاک درون لوله)

مقاومت حرارتی کل سیستم  $R_{total}$  به صورت رو برو مشخص می شود:

$$R_{total} = R_{soil} + R_{pipe} + R_{conv}$$

در نهایت ضریب کل انتقال حرارت به ازای واحد طول لوله با استفاده از مقاومت حرارتی کل به صورت زیر اندازه گیری می شود:

$$U = \frac{1}{R_{total}}$$

با در نظر گرفتن شرایط مرزی و حل معادله تعادل انرژی به معادله زیر خواهیم رسید که با استفاده از آن می توان دمای خروجی از لوله را بدست آورد:

$$T_{out} = T_{in} - [T_{in} - T(z, t)] \times [1 - e^{-b dx}]$$

$$b = \frac{U}{\dot{m} \times C_{pf}}$$

$$\dot{Q} = \dot{m} C_{pf} (T_{out} - T_{in})$$

= دمای هوای خروجی از لوله (درجه سانتیگراد)

= دبی جرمی هوای  $(\frac{kg}{s})$

= دمای هوای ورودی به لوله (درجه سانتیگراد)

= گرمای ویژه هوای  $(\frac{j}{kg \cdot ^\circ C})$

= دمای میانگین خاک در عمق  $z$  و زمان  $t$

= مقدار گرمای انتقال یافته در طول لوله دفن شده (W)

برای مدلسازی حرارتی سیستم، لوله ای با سطح مقطع دایره در حالی که سیال هوا درون آن جریان دارد، در نظر گرفته شده است. همچنین یک مقاومت حرارتی خارجی به صورت لایه ای از خاک با ضخامت معین که لوله را احاطه کرده است، به عنوان شرایط مرزی برای مسئله در نظر گرفته شده و کل سیستم با خاکی با دمای میانگین  $17/5$  درجه سانتیگراد در تماس می باشد (تصویر ۵). دمای میانگین خاک با توجه به تصویر ۲،  $17/5$  درجه سانتیگراد محاسبه شده است که جهت دقیق بیشتر در محاسبات این عدد در فصل گرم و در فصل سرد  $19$  درجه سانتیگراد (مطابق با نوسانات موج سینوسی)، در نظر گرفته شده است.

برای طول کوچکی از لوله زیرزمینی ( $dx$ ) در جهت جریان هوا، مقاومت حرارتی مربوط به حلقه خاکی که پیرامون لوله را احاطه کرده است، طبق معادله زیر بیان می شود (Derbel et al., 2010):

$$R_{soil} = \frac{\ln(\frac{R_2}{R_1})}{2\pi \times k_{soil} \times (dx)}$$

مقاومت حرارتی مربوط به لوله سیمانی درون خاک طبق معادله زیر بیان می شود:

$$R_{pipe} = \frac{\ln(\frac{R_1 + e}{R_1})}{2\pi \times k_{pipe} \times (dx)}$$

و مقاومت حرارتی مربوط به انتقال حرارتی جابجایی بین سیال درون لوله و سطح داخلی لوله نیز طبق معادله زیر بیان می شود:

$$R_{conv} = \frac{1}{2\pi \times R_1 \times h \times (dx)}$$

= شعاع درونی لوله زیرزمینی (متر)

= رسانندگی حرارتی لوله  $(\frac{w}{m \cdot k})$

= ضریب انتقال حرارت جابجایی  $h$

= شعاع حجم استوانه ای خاکی که لوله را احاطه کرده است (متر)

= ضخامت لوله (متر)

= واحد طول لوله زیرزمینی (متر)

= رسانندگی حرارتی خاک  $(\frac{w}{m \cdot k})$

= رسانندگی حرارتی هوای  $(\frac{w}{m \cdot k})$

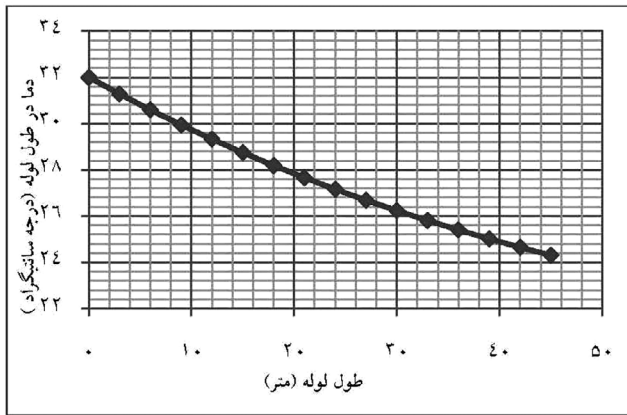
که  $h$  در عبارت بالا، ضریب انتقال حرارت جابجایی بوده و به

جدول ۲- پارامتر های مورد نیاز برای دستیابی به عملکرد سیستم در نرم افزار MATLAB

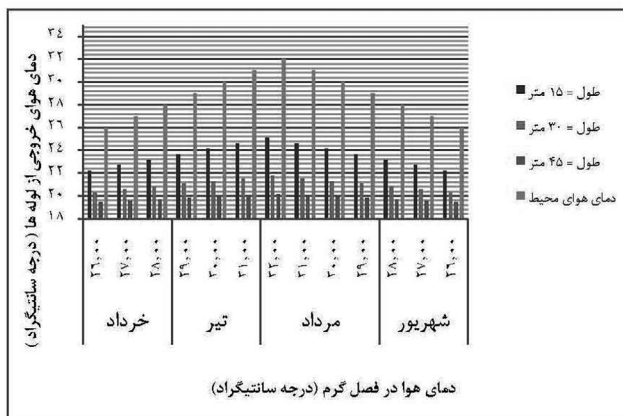
عمق دفن لوله ها	دماخ در تابستان	دماخ در زمستان	رسانندگی گرمایی لوله (سیمانی)	پخشندگی حرارتی خاک	رسانندگی گرمایی خاک (شن و ماسه ای)
(m)	(°C)	(°C)	$k \left( \frac{w}{m \cdot k} \right)$	$\propto \left( \frac{m^2}{h} \right)$	$k \left( \frac{w}{m \cdot k} \right)$
۶	۱۸	۱۹	۰/۲۹	۰/۰۰۱۱۷	۱/۷

$$U = \text{ضریب کل انتقال حرارت} \left( \frac{w}{m \cdot ^\circ C} \right)$$

برای دستیابی به عملکرد کل سیستم، نرم افزار MATLAB نیاز به اطلاعات مربوط به خواص فیزیکی خاک و لوله های دفن شده در خاک، ضخامت دیواره لوله سیمانی مورد استفاده، دمای خاک در فصل گرم و سرد و عمقی از خاک که لوله ها در آن قرار گرفته اند، دارد (جدول ۲). شعاع، طول لوله های زیرزمینی و سرعت هوا درون لوله ها پارامتر هایی هستند که با بررسی اثر آنها بر عملکرد کل سیستم (میزان ظرفیت گرمایشی و سرمایشی سیستم)، به اندازه بهینه آنها با توجه به بنای آموزشی مذکور دست خواهیم یافت.



تصویر ۷- نمودار کاهش دمای ورودی در طول لوله با توجه به افزایش طول لوله.



تصویر ۸- نمودار تغییرات دمای هوای خروجی از لوله با طول های مختلف (شعاع = ۲۵ سانتیمتر، سرعت هوا درون لوله = ۱/۵ متر بر ثانیه).

زمینی نشان می دهد. با توجه به شکل با تغییر شعاع سیستم از ۱۵ سانتیمتر به ۵۰ سانتیمتر ظرفیت سرمایشی سیستم نیز به طور چشمگیری افزایش می یابد.

پارامتر مهم دیگری که نقش عمده ای را در ظرفیت سرمایشی سیستم ایفا می کند، سرعت هوا درون لوله ها می باشد که اندازه آن با استفاده از پژوهش های قلی صورت گرفته (Dhaliali, 1984 and Goswami, 1984)، در محدوده ۰/۰ تا ۲ متر بر ثانیه انتخاب شده است. با ثابت نگه داشتن شعاع و طول لوله و تغییر دادن سرعت هوا درون لوله در محدوده ذکر شده، با افزایش سرعت هوا درون لوله مقدار پتانسیل سرمایشی سیستم افزایش می یابد،

### ۳-۱-۲- عملکرد سیستم لوله های زیرزمینی در فصل گرم:

طبق بررسی های انجام شده در این پژوهش، در صورت افزایش دمای هوا از ۲۶ درجه سانتیگراد نیاز به سرمایش خواهیم داشت که این شرایط از ۱۵ خرداد شروع و تا ۱۰ مهر ادامه خواهد داشت و در کل ۱۱۹ روز در طول سال نیاز به سرمایش داریم. در این پژوهش عملکرد سیستم در شرایط مختلف طول، شعاع و سرعت هوا درون لوله بررسی شده است و در آخر بهترین حالت جهت دستیابی به بهترین مقدار صرفه جویی انرژی انتخاب شده است.

اگر فرض کنیم که دمای هوای ورودی به لوله در یک روز گرم تابستان ۳۲ درجه سانتیگراد باشد، با فرض ثابت بودن شعاع و سرعت هوا درون لوله می توان اثر افزایش طول لوله را بر کاهش دمای خروجی از لوله بررسی نمود (تصویر ۷). با افزایش طول لوله دمای هوایی که از لوله خارج می شود کاهش یافته و ظرفیت سرمایشی سیستم نیز افزایش می یابد.

اگر کل فصل گرم در تهران با توجه به آمار ۱۰ ساله هواشناسی، از ۲۶ درجه شروع و در نهایت به ۳۲ درجه سانتیگراد برسد، دمای هوای خروجی از لوله هایی با طول های مختلف در مقایسه با دمای هوای محیط در تصویر ۸ نشان داده شده است. با توجه به ابعاد طرح، موقعیت موتورخانه و جهت حداقل بهرهوری از سیستم طول لوله ها ۴۵ متر فرض شده است. هر چقدر طول لوله ها بیشتر باشد، سیستم زمان بیشتری را برای تبادل انرژی در اختیار خواهد داشت. چون شعاع لوله ها و مقدار سرعت هوا درون لوله ها بر میزان بار انرژی سیستم تاثیر دارند، این سیستم با مقادیر مختلفی از این پارامترها بررسی شد. تصویر ۹ اثر شعاع های مختلف را بر ظرفیت سرمایشی سیستم لوله های

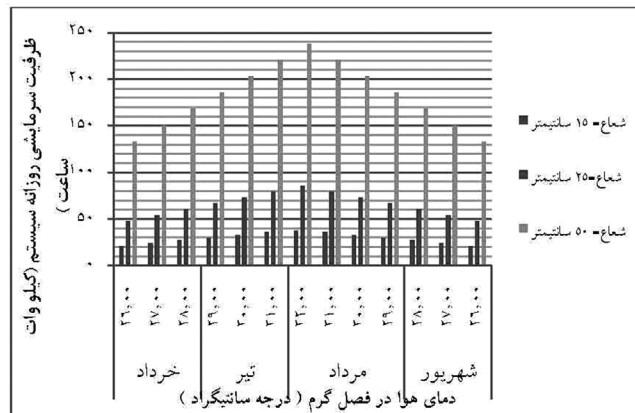
یک فن نیاز است که می‌تواند در سر راه ورودی هوای لوله‌ها و یا در خروجی هوای قرار گرفته و با توجه به دمای هوای ورودی به لوله‌ها سرعت لازم را برای رسیدن به ظرفیت گرمایشی و یا سرمایشی مطلوب روزانه تامین نماید.

برای بدست آوردن پارامترهای بهینه جهت طراحی این سیستم در تابستان مقدار پتانسیل سرمایشی سیستم، در هر یک از حالات ذکر شده مورد بررسی قرار داده و این نتیجه حاصل شد که سیستمی با مشخصات زیر (جدول ۳)، می‌تواند بار حرارتی روزانه به طور میانگین ( $KWh$ ) ۱۶/۶ را تامین کند که در صورت استفاده از ۳ لوله که با هم به صورت موازی قرار گرفته اند به طور همزمان، پتانسیل سرمایشی سیستم به ۳ برابر این مقدار افزایش می‌یابد.

### ۲-۲-۳-عملکرد سیستم لوله‌های زیرزمینی در فصل سرد:

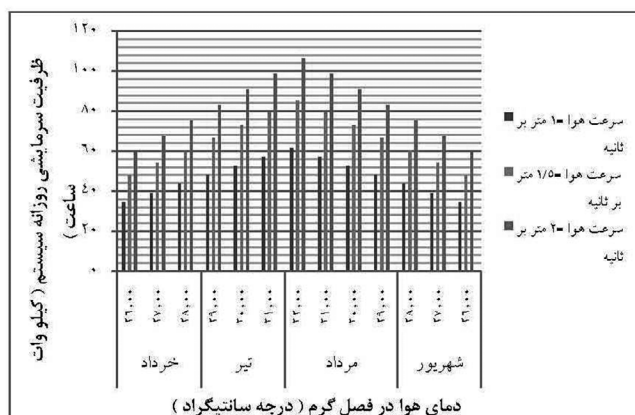
دمای خاک در فصل سرد، در عمق ۶ متری در تهران ۱۹ درجه سانتیگراد می‌باشد به همین دلیل اینطور فرض شده است که سیستم لوله‌های زیرزمینی تنها برای دمای هوای بین صفر تا ۱۵ درجه می‌تواند عملکرد خوبی داشته باشد و برای دماهای بیش از ۱۵ درجه سانتیگراد به علت اختلاف دمای کم بین دمای هوای محیط که وارد لوله‌های زیرزمینی می‌شود با دمای خاک، عملکرد ضعیفی خواهد داشت. چنانچه گفته شد، فصل سرد در تهران از نیمه آبان آغاز و تا نیمه فروردین ادامه دارد (۱۵۰ روز). لذا با توجه به پارامترهای مورد نیاز برای طراحی سیستم لوله‌های زمینی که با توجه به نیاز سرمایشی سیستم در فصل گرم به صورت بهینه انتخاب شده‌اند، ظرفیت گرمایشی روزانه این سیستم به طور میانگین در فصل سرد نیز طبق جدول ۵ می‌باشد.

در فصل سرد با کم کردن سرعت هوای رون لوله‌ها از میزان پتانسیل گرمایشی سیستم کاسته می‌شود به این دلیل که از حجم هوای ورودی به لوله‌ها کاسته می‌شود ولی با این وجود دمای هوای خروجی از لوله‌ها که جهت رسیدن به دمای ۲۱ درجه سانتیگراد وارد هواساز می‌شود، افزایش خواهد یافت و این امر



تصویر ۹-نمودار تغییرات پتانسیل سرمایشی سیستم لوله‌های زیرزمینی با شعاع‌های مختلف لوله (سرعت هوای رون لوله = ۱/۵ متر بر ثانیه).

اما با افزایش سرعت رون لوله‌ها، اصطکاک هم افزایش یافته که خود یک عامل منفی به حساب می‌آید. از این رو برای انتخاب سرعت بهینه درون لوله باید این عامل را نیز به حساب آورد (تصویر ۱۰). برای ثابت نگه داشتن سرعت هوای رون لوله‌ها به



تصویر ۱۰-نمودار تغییرات پتانسیل سرمایشی سیستم لوله‌های زیرزمینی با سرعت‌های مختلف هوای رون (طول = ۳۰ متر، شعاع = ۲۵ سانتیمتر).

جدول ۳-پارامترهای مورد نیاز برای طراحی سیستم بر نرم افزار MATLAB

ضخامت لوله	سرعت هوای رون لوله	طول لوله	شعاع لوله	ظرفیت گرمایشی روزانه میانگین (برای ۱ لوله)
(mm)	(m/s)	(m)	(cm)	(KWh)
۲	۱/۵	۴۵	۵۰	۱۶۴/۶

جدول ۴-دمای هوای خروجی از لوله‌ها با توجه به دمای هوای ورودی و سرعت هوای رون لوله.

شعاع لوله‌های زیرزمینی = ۵۰ سانتیمتر طول لوله‌های زیرزمینی = ۴۵ متر	دمای هوای ورودی (°C)	۲۶	۲۷	۲۸	۲۹	۳۰	۳۱	۳۲
	دمای هوای خروجی از لوله (°C)	۲۲/۶	۲۳/۱	۲۳/۷	۲۴/۳	۲۴/۸	۲۵/۴	۲۶/۱

امکان سنجی استفاده از سیستم لوله های زیرزمینی جهت تأمین  
درصدی از انرژی بنا

جدول ۵- پتانسیل گرمایشی سیستم در فصل سرد با توجه به سرعت های متفاوت هوادر و لوله.

	سرعت هوای درون لوله ها (m/s)	ظرفیت سرمایشی روزانه میانگین (برای ۱ لوله) (KWh)
شعاع لوله های زیرزمینی = ۵۰ سانتیمتر	۰/۵	۷۴/۸
طول لوله های زیرزمینی = ۴۵ متر	۱	۱۱۷/۴
	۱/۵	۱۴۳

جدول ۶- دمای هوای خروجی از لوله ها با توجه به دمای هوای ورودی و سرعت هوادر و لوله.

سرعت هوای درون لوله (m/s)	دمای هوای ورودی (°C)	۱	۳	۵	۷	۹	۱۱	۱۳	۱۵
۰/۵	دمای هوای خروجی از لوله (°C)	۱۲/۵	۱۳/۲	۱۴	۱۴/۷	۱۵/۴	۱۶/۱	۱۶/۹	۱۷/۶
		۹/۹	۱۰/۹	۱۲	۱۳	۱۴	۱۵	۱۶	۱۷
		۸/۲	۹/۵	۱۱	۱۲	۱۳/۱	۱۴/۳	۱۵/۵	۱۶/۷

باعث افزایش کارآیی هواساز خواهد شد (جدول ۶).

### ۳-۳- مدل حرارتی سیستم لوله های زمینی در شرایط گذرا:

از آنجایی که بسیاری از مسائل انتقال گرمابسته به زمان هستند، لذا مسائل گذرا نوعاً وقتی به وجود می آیند که شرایط مرزی سیستمی تغییر کند. در بیشتر مقالات بررسی شده، از اغتشاشات حرارتی و تغییرات دمایی حجمی از خاک که روی سطح لوله قرار گرفته است، صرفنظر می شود و آن به این دلیل است که بتوان سیستم لوله و هوای عبوری از آن را در تمام اوقات با خاک ۱۷/۵۳ درجه سانتیگراد (میانگین دمای خاک در عمق ۶ متری) در تماس گرفت که این فرض منجر به عملکرد بالای سیستم در کل فصل گرم و سرد می شود. اما در حقیقت، بلاfacسله بعد از شروع استفاده از سیستم و دمیدن هوای درون لوله های زیرزمینی، دمای لایه خاک بالای لوله در اثر انتقال حرارت شروع به تغییر می کند و در اثر گذشت زمان دمای این لایه در فصل گرم افزایش و در فصل سرد کاهش می یابد که این امر باعث کاهش کارآیی کل سیستم می شود. برای درنظر گرفتن این اثر در مدلسازی حرارتی سیستم لوله های زیرزمینی باید فرض هایی را در نظر بگیریم:

دمای سطح لوله بادمای لایه نازک خاک بالای آن در هر لحظه برابر است. بنابراین فرض، با بدست آوردن دمای سطح لوله در طی زمان به تغییرات دمایی خاک دست خواهیم یافت.

هنگامی که دمای سطح لوله (و خاک) با دمای هوای عبوری از آن برابر باشند، سیستم عملاً کارآیی خود را از دست می دهد. در این حالت گرمای انتقال یافته در اثر جابجایی از هوای درون لوله به سطح لوله برابر است با مقدار گرمای منتقل شده از طریق رسانش از لوله به خاک. که طبق معادله زیر بیان می شود (Holman, 2010, 148):

$$hA(T_{air} - T(x, t))_{x=0} = -k_{soil}A\left(\frac{\partial T}{\partial x}\right)_{x=0}$$

## ۴- بحث:

در این پژوهش به بررسی دمای خاک در اعماق مختلف در شهر تهران و امکان استفاده از سیستم لوله های زیرزمینی و عوامل موثر بر آنها پرداخته و پارامترهای موردنیاز برای طراحی سیستم برای یک بنای آموزشی با ۱۲ کلاس در تهران محاسبه شده است.

جدول ۷- تعداد روزهای عملکرد قابل قبول سیستم با توجه به شعاع و سرعت هوای درون لوله ها.

فصل گرم	شعاع لوله ها (سانتیمتر)	سرعت هوای (متر بر ثانیه)	تعداد روزهای عملکرد قابل قبول سیستم
			۱۱۵
فصل سرد	۱۵	۱/۵	۱۰۰
		۲	۵۵
		۱	۱۱۵
	۲۵	۱/۵	۱۰۵
		۲	۶۸
		۱	۱۱۵
فصل گرم	۵۰	۱/۵	۱۱۵
		۲	۹۵
		۱	۱۱۵
	۱۵	۱/۵	۹۰
		۲	۶۰
		۰/۵	۱۵۰
فصل سرد	۵۰	۱	۱۵۰
		۱/۵	۱۵۰

جدول ۸- ظرفیت حرارتی کل بنا با و بدون سیستم لوله های زیرزمینی و درصد صرفه جویی

زمان	انرژی مورد نیاز کل بنا بدون استفاده از سیستم لوله های زیرزمینی (KWh)	انرژی مورد نیاز کل بنا با استفاده از سیستم لوله های زیرزمینی (KWh)	ذخیره انرژی در صورت استفاده از سیستم لوله های زیرزمینی (۳ لوله موازی) (KWh)	درصد صرفه جویی کل
فصل گرم	۹۳۱	۴۳۷	۴۹۴	۷۵٪
فصل سرد	۲۵۶	۱۳۲	۲۲۵	۷۶٪

ثانیه رسانده شده است (Derbel et al., 2010). نکته قابل توجه این است که با افزایش سرعت هوای درون لوله‌ها، مقدار ضریب انتقال حرارت جابجایی ( $h$ ) نیز افزایش یافته و تعداد روزهای عملکرد قابل قبول سیستم به طور قابل توجهی کاهش می‌یابد. در تحقیقات دیگری که در کویت برای دوره گرم سال صورت گرفته است، طول لوله ها ۶۰ متر و شعاع آنها ۲۵ سانتیمتر در نظر گرفته شده است. با استفاده از این سیستم دمای هوای اتاقی که از این سیستم استفاده می‌کند بین ۲۸-۳۰ درجه سانتیگراد تغییر می‌کند (Al-Ajmi et al., 2005). دمای میانگین خاک در کشور کویت (حدود ۲۷ درجه سانتیگراد) حدود ۹ درجه از دمای میانگین خاک در شهر تهران بیشتر است و به همین علت هوای خروجی از لوله ها در فصل تابستان برای رسیدن به دمای آسایش باید وارد هواساز شوند. پس از بررسی سیستم لوله های زیرزمینی در شهر تهران در

گردید. سیستم لوله های زیرزمینی برای این بنای آموزشی به صورت ترکیبی از ۳ لوله (جهت دستیابی به حداکثر کارآیی و با در نظر گرفتن محدودیت های پلان) به طول ۴۵ متر و شعاع ۵۰ سانتیمتر که به طور موازی قرار گرفته اند، در نظر گرفته شد. همچنین با تنظیم سرعت جریان هوای درون لوله ها به مقدار ۱/۵ متر بر ثانیه در تابستان و ۰/۵ متر بر ثانیه در زمستان به ترتیب به مقدار بهینه ای از ظرفیت سرمایشی سیستم دمای هوای خروجی از لوله ها دست خواهیم یافت (جداول ۶ و ۷). در پژوهشی که در کشور تونس در این رابطه صورت گرفته است برای مدلسازی سیستم، طول لوله ها برابر ۳۰ متر و شعاع آنها برابر ۵ سانتیمتر در نظر گرفته شده است. همانطور که گفته شد، با کاهش اندازه شعاع لوله ها، ظرفیت حرارتی سیستم کاهش می‌یابد که در پژوهش ذکر شده جهت جلوگیری از این پدیده سرعت جریان هوای درون لوله های زیرزمینی به ۶ متر بر

## نتیجه

سیستم را به اندازه کل فصل گرم (۱۱۵ روز) رسانید که این عدد در صورت افزایش سرعت هوای داخل لوله، با وجود افزایش میزان طرفیت سرمایشی روزانه سیستم به ۹۵ روز کاهش می یابد. همچنین این سیستم با مشخصات فوق و با تغییر سرعت هوای رون لوله به ۰/۵ متر بر ثانیه در کل فصل سرد نیز کارآیی دارد.

۵- به طور کلی، با استفاده از سیستم لوله های زیرزمینی برای بنای آموزشی مذکور با مشخصات طراحی شده، در گرما ترین روز فصل گرم (۲۲ درجه سانتیگراد) کاهش دمایی به اندازه ۶ درجه سانتیگراد و در سردترین روز فصل سرد (۱ درجه سانتیگراد) افزایش دمایی به اندازه ۹ درجه سانتیگراد مشاهده می شود.

در خاتمه و بر اساس پژوهش حاضر مشخص می گردد که استفاده از این سیستم گامی بزرگ در جهت کاهش مصرف انرژی در فصل گرم و سرد در اقلیم تهران بوده و می توان با بررسی نوع خاک و شرایط دمایی در اعماق خاک و با استفاده از مدل حرارتی ارائه شده در این پژوهش، امکان استفاده از این سیستم را در اقلیم های دیگر ایران نیز بررسی نموده و با توجه به آن مشخصات سیستم را برای هر ساختمانی طراحی نمود تا گسترش استفاده از این سیستم گام بزرگی در جهت صرفه جویی در مصرف انرژی برداشته شود.

پژوهش حاضر نتایج زیر حاصل شد:

۱- پس از شبیه سازی عددی دمای خاک در اعماق مختلف و بررسی نمودارها، این نتیجه حاصل می شود که بهترین عمق جهت قرار گیری لوله های زیرزمینی در تهران پنج الی شش متر می باشد. در این عمق از خاک نوسانات دمای خاک به حداقل مقدار رسیده و در نهایت باعث افزایش کارایی سیستم می گردد.

۲- با توجه به جدول ۸، این نتیجه حاصل می شود که سیستم در فصول گرم و سرد به تنها ی قابل دسترسی باشند. شرایط آسایش در محدوده دمایی ۲۱-۲۶ سانتیگراد در یک بنای آموزشی نمی باشد اما در صورت ترکیب با یک سیستم تهویه مطبوع مناسب، درصد صرفه جویی انرژی قابل توجهی را نشان می دهد. در فصل گرم، ۵۳ درصد و در فصل سرد نیز دارای درصد صرفه جویی به مقدار ۶۳ درصد می باشد.

۳- همینطور نتیجه گرفته می شود که با توجه به شرایط اقلیمی تهران و استفاده از سیستم های خورشیدی غیرفعال (گلخانه خورشیدی) در بنا، در صورت استفاده از سیستم لوله های زیرزمینی در صد صرفه جویی انرژی بیشتری در فصل سرد نسبت به فصل گرم خواهیم داشت.

۴- با استفاده از بررسی های انجام شده می توان با درنظر گرفتن طول لوله به اندازه ۵ متر، شعاع ۵۰ سانتیمتر و سرعت هوا ۱/۵ متر بر ثانیه در فصل گرم تعداد روزهای عملکرد قابل قبول

## فهرست منابع:

## پی نوشته ها:

- Al-Ajmi F, Loveday DL, Hanby VI.( 2006),The cooling potential of earth-air heat exchangers for domestic buildings in a desert climate, *Building and Environment*, Vol 41, 235-244.
- Athienitis A. K, Roy M, Zhao M .( 2005), *Design and simulation of a hybrid ventilation system with Earth-Air heat exchanger*, Ninth International IBPSA Conference, Montreal, Canada .
- Ascione F, Bellia L, Minichiello F.( 2011), Earth-to-air heat exchangers for Italian climates, *Renewable, Energy*, Vol 36, 2177-2188.
- Bansal NK, Sodha MS, Bharadwi SS.( 1983), Performance of earth air tunnels. *International Journal of Energy Research*.
- Derbel H, Kanoun O.( 2010), Investigation of the ground thermal potential in Tunisia focused towards heating and cooling applications, *Applied Thermal Engineering*, Vol 30, 1091-1100.
- Dhaliwal AS, Goswami DY.(1984), *Heat transfer analysis environment control using an underground air tunnel*. ASME Solar Energy.

- 1 Passive and Active Systems.
- 2 Earth tube systems.
- 3 Daily cooling and heating potential.
- 4 Unsteady-state Conduction.
- 5 Steady-state Conduction.
- 6Semi-infinite solid.
- 7 Thermal Diffusivity.
- 8 Density.
- 9 Thermal conductivity.
- 10 Specific Heat.
- 11Soil Thermal Effect.
- 12 Nusselt Number.
- 13 Reynolds Number.
- 14 Prandtl Number.
- 15 Turbulent Tube Flow.

Kusuda TO, Bean W.(1983), *Annual variation of temperature field and heat transfer under heated ground surface, slab-on grade floor heat loss calculation*. Building Science Service.

Holman, J.P (2010), *Heat Transfer*, McGraw-Hill, Boston.

Sodha M. S, Sharma A. K, Singh S. P, Bansal N. K, Kumr A. (1985), Evaluation of an Earth-Air Tunnel System for cooling/heating of a hospital complex, *Building and Environment*. Vol. 20, No. 2, 115-122.

Wu H, Wang S, Zhu D.(2007), Modelling and evaluation of cooling capacity of earth-air-pipe systems, *Energy Conversion & Management*, Vol 48, 1462-1471.